

07;09  
©1992 г.

# ПАРАМЕТРИЧЕСКОЕ ВЗАИМОДЕЙСТВИЕ ОПТИЧЕСКИХ ВОЛНОВОДНЫХ МОД С СВЧ ЭЛЕКТРОМАГНИТНЫМ ПОЛЕМ В ПЛЕНКАХ

## ГИРОТРОПНЫХ ЭЛЕКТРООПТИЧЕСКИХ КРИСТАЛЛОВ

$\text{Bi}_{12}\text{SiO}_{20}$ ,  $\text{Bi}_{12}\text{GeO}_{20}$

А.А. Соломко, Ю.А. Гайдай,  
О.В. Колокольцев

Рассмотрены особенности параметрического взаимодействия оптических мод планарного гиротропного волновода BGO:BSO с СВЧ электромагнитным полем на основе электрооптического эффекта (ЭЭ). Получены выражения для амплитуд преобразованных мод и условия фазового синхронизма (УФС) для волн в гиротропной среде. Показано, что при выполнении УФС для прямой и обратной СВЧ волны реализуется накапливающийся эффект для стоксовой и антистоксовой составляющих амплитуд полей. Анализ проведен для двух основных геометрий ЭЭ.

### Введение

Особенность кристаллов  $\text{Bi}_{12}\text{SiO}_{20}$  (BSO),  $\text{Bi}_{12}\text{GeO}_{20}$  (BGO) как электрооптических сред, связана с наличием у них естественной оптической активности. Кристаллы BSO и BGO относятся к классу симметрии 23. Они фотоактивны, имеют резкую спектральную зависимость фотопроводимости, эффект Фарадея, пьезоэлектрические свойства [1]. Тензор диэлектрической проницаемости с учетом эффекта Фарадея, оптической активности и линейного электрооптического эффекта в кристаллофизической системе координат  $XYZ$  имеет вид

$$\varepsilon_{ij} = \varepsilon_0 \delta_{ij} + \Delta \varepsilon_{ij} = \varepsilon_0 \delta_{ij} + j\gamma e_{ijk} B_k + jk_0^{-1} g e_{ijk} \nabla_k - \varepsilon_0^2 r_{ijk} E_k^s, \quad (1)$$

где  $\varepsilon_0$  — диэлектрическая проницаемость кристалла при  $r = g = \gamma = 0$ ,  $g$  — элемент тензора гирации,  $\delta_{ij}$  — символ Кронекера,  $r_{ijk}$  — линейный электрооптический коэффициент,  $E_k^s$  — компонента электрооптического управляющего поля,  $k_0$  — постоянная распространения света в кристалле,  $\gamma$  — коэффициент магнитогирации среды,  $e_{ijk}$  — символ Леви-Чивита,  $B_k$  — компонента вектора магнитной индукции.

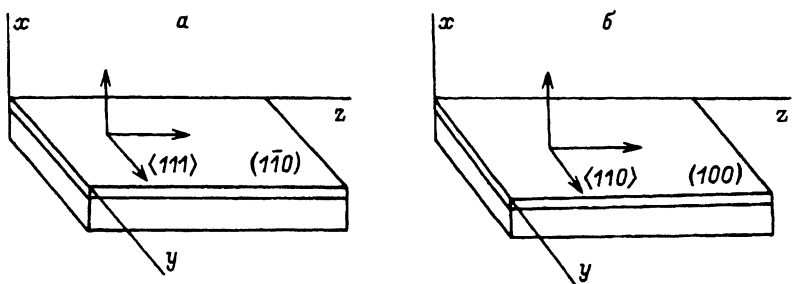


Рис. 1. Геометрия фазовой (а) и амплитудной (б) модуляций для электрооптического эффекта.

В последнее время были синтезированы кристаллы BSO и BGO с высокой лучевой прочностью, что делает их конкурентоспособными с традиционными электрооптическими средами [2]. Получены чистые и легированные тонкие пленки этих кристаллов [3,4]. В ряде работ показана возможность эффективного управления параметрами света в планарных волноводах BSO и BGO на основе электрооптического эффекта (ЭЭ) для квазистационарного управляющего электромагнитного поля (УП) [4-7].

Однако остается открытым вопрос о возможности получения накапливающихся эффектов при параметрическом взаимодействии оптических волноводных мод с СВЧ УП.

В настоящей работе рассмотрены две оптимальные геометрии ЭЭ. Геометрию, в которой ЭЭ вносит вклад только в диагональные компоненты тензора  $\hat{\epsilon}$ , для краткости будем называть геометрией фазовой модуляции (ГФМ), а в случае, когда ЭЭ дает вклад только в компоненты тензора  $\epsilon_{12}, \epsilon_{21}$ , — геометрией амплитудной модуляции (ГАМ).

### Геометрия фазовой модуляции

Пусть свет распространяется в пленке BGO ( $n_2 = 2.550, r_{41} = 3.4 \times 10^{-10} \text{ см}\cdot\text{В}^{-1}$ , постоянная Верде  $B_v = 0.26 \text{ мин}/\text{Э}\cdot\text{см}$ , оптическая активность  $\rho = 400 \text{ град}\cdot\text{см}^{-1}$ ), выращенной в плоскости (110) на подложке BSO ( $n = 2.542, r_{41} = 4.7 \cdot 10^{-10} \text{ см}\cdot\text{В}^{-1}, B_v = 0.25 \text{ мин}/\text{Э}\cdot\text{см}, \rho = 250 \text{ град}\cdot\text{см}^{-1}$ ), в направлении 0z и электрическая компонента однородного линейно поляризованного СВЧ УП направлена вдоль оси 0y, которая совпадает с кристаллофизическими направлениями  $\langle 111 \rangle$  (рис. 1, а). Изотропный верхний слой имеет показатель преломления  $n_1 = 1.53$ . Отметим, что вариация оптического поля в направлении 0y отсутствует  $\partial/(\partial y) = 0$ .

Считая, что оптическая активность и ЭЭ являются малым возмущением, которое приводит к взаимодействию собственных волн невозмущенного волновода ( $\Delta^A \epsilon = 0$ ), решение задачи будем искать методом связанных мод [8].

Решение уравнений Максвелла с возмущенной правой частью ( $\mu = 1$ )

$$\nabla \times \mathbf{E} = -\frac{1}{c} \frac{\partial \mathbf{H}}{\partial t}, \quad \nabla \times \mathbf{H} = \frac{1}{c} \frac{\partial}{\partial t} [\epsilon_0 \mathbf{E} + \Delta^A \epsilon \mathbf{E}] \quad (2)$$

представим в виде суперпозиции двух волн с медленно изменяющимися амплитудами

$$\mathbf{E}_n(x, z, t) = a^n(z, t)\mathbf{E}_n^E(x)^{j(\omega t - \beta_n^E z)} + b^n(z, t)\mathbf{E}_n^M(x)e^{j(\omega t - \beta_n^M z)}, \quad (3)$$

где  $\mathbf{E}_n^E(x)$ ,  $\mathbf{E}_n^M(x)$  — напряженности полей  $TE$ - и  $TM$ -мод невозмущенного волновода;  $\beta_n^E$  и  $\beta_n^M$  — их постоянные распространения;  $n$  — номер моды.

Поля  $\mathbf{E}_n^E(x)$  и  $\mathbf{E}_n^M(x)$  нормированы таким образом, чтобы мощность, переносимая каждой модой в направлении  $z$  (на единицу ширины в направлении  $y$ ), соответствовала единичной

$$-\frac{c}{8\pi} \int_{-\infty}^{+\infty} H_x E_y dx = \frac{c}{8\pi} \int_{-\infty}^{+\infty} E_x H_y dx = 1. \quad (4)$$

Подставляя (1) и (3) в (2) и учитывая, что  $a^n(z, t)$  и  $b^n(z, t)$  — медленно меняющиеся функции координат и времени, а компонента УП  $E_k^s$  в (1) имеет вид

$$E_y^s = E_y^0 \sin(\Omega t - k_s z) = E_y^0 \sin \Psi, \quad (5)$$

получим уравнения связанных мод

$$\begin{aligned} \left( \frac{\partial}{\partial z} + \frac{1}{v_1} \frac{\partial}{\partial t} \right) a^n &= j A_1 a^n \sin \Psi + j B b^n \exp[j \Delta z], \\ \left( \frac{\partial}{\partial z} + \frac{1}{v_2} \frac{\partial}{\partial t} \right) b^n &= j A_2 b^n \sin \Psi + j B^* a^n \exp[-j \Delta z], \end{aligned} \quad (6)$$

где  $v_1$ ,  $v_2$  — групповые скорости  $TE$ - и  $TM$ -мод соответственно,  $\Delta = \beta_n^E - \beta_n^M$ ,

$$A_1 = -\frac{\omega}{16\pi} \Delta \varepsilon_{22}^{r'} \langle E_y^2 \rangle_n, \quad A_2 = -\frac{\omega}{16\pi} \Delta \varepsilon_{11}^{r'} \langle E_x^2 \rangle_n,$$

$$B = -\frac{\omega}{16\pi} [\Delta \varepsilon_{21}^{g,\gamma} \langle E_y E_x \rangle + \Delta \varepsilon_{23}^{g,\gamma} \langle E_y E_z \rangle]_n,$$

$\varepsilon^{r'}$  — компоненты тензора в системе координат волновода ( $A_{1,2} \sim r_{41} E_y^0$ ,  $B \sim g, \gamma$ ); принято обозначение  $\langle F \rangle = \int_{-\infty}^{+\infty} F dx$ .

В общем случае получить решение уравнения (6) сложно, поэтому мы ограничимся областью вдали от отсечки, где групповые скорости  $TE_n$ - и  $TM_n$ -мод отличаются на очень малую величину, т.е.

$$v_1 \approx v_2 = v, \quad (7)$$

и такой величиной УП, чтобы выполнялось условие

$$\frac{A}{|B|} \ll 1. \quad (8)$$

## Вводя новые переменные

$$u = \frac{B}{2}(z + vt), \quad \eta = z - vt, \quad (9)$$

получим систему обыкновенных дифференциальных уравнений

$$\begin{aligned} \frac{\partial}{\partial u} \tilde{a}^n &= j\alpha \tilde{a}^n \sin \tilde{\Psi} + j\tilde{b}^n \exp \left[ j\frac{\Delta}{B} \left( u + \frac{B}{2}\eta \right) \right], \\ \frac{\partial}{\partial u} \tilde{b}^n &= j\alpha \frac{A_2}{A_1} \tilde{b}^n \sin \tilde{\Psi} + j\frac{B^*}{B} \tilde{a}^n \exp \left[ -j\frac{\Delta}{B} \left( u + \frac{B}{2}\eta \right) \right], \end{aligned} \quad (10)$$

где  $\alpha = A/B$ ,

$$\tilde{\Psi} = \frac{2}{B} p^- u - p^+ \eta, \quad p^\pm = \frac{\Omega}{2} \left( \frac{1}{v} \pm \frac{1}{v_s} \right),$$

$v_s$  — фазовая скорость СВЧ волны.

Решение системы (10) ищем в виде ряда по малому параметру  $\alpha$

$$\begin{aligned} \tilde{a}^n &= a_0(u, \eta) + \alpha a_1(u, \eta) + \alpha^2 a_2(u, \eta) + \dots, \\ \tilde{b}^n &= b_0(u, \eta) + \alpha b_1(u, \eta) + \alpha^2 b_2(u, \eta) + \dots. \end{aligned} \quad (11)$$

Так как было принято, что  $\alpha \ll 1$ , то в разложении (11) можно ограничиться слагаемыми не выше первого порядка по  $\alpha$ ; подставляя (11) в (10), получим приближения нулевого и первого порядков

$$\begin{aligned} \frac{\partial}{\partial u} a_0 &= jb_0 \exp \left[ j\frac{\Delta}{B} \left( u + \frac{B}{2}\eta \right) \right], \\ \frac{\partial}{\partial u} b_0 &= j\frac{B^*}{B} a_0 \exp \left[ -j\frac{\Delta}{B} \left( u + \frac{B}{2}\eta \right) \right], \\ \frac{\partial}{\partial u} a_1 &= ja_0 \sin \tilde{\Psi} + jb_1 \exp \left[ j\frac{\Delta}{B} \left( u + \frac{B}{2}\eta \right) \right], \\ \frac{\partial}{\partial u} b_1 &= jb_0 \frac{A_2}{A_1} \sin \tilde{\Psi} + j\frac{B^*}{B} a_1 \exp \left[ -j\frac{\Delta}{B} \left( u + \frac{B}{2}\eta \right) \right]. \end{aligned} \quad (12)$$

Положим, что в точке  $z = 0$  амплитуда  $TM_n$ -моды равна единице, а  $TE_n$ -моды нулю. Тогда условия на границе для составляющих  $a_k$  и  $b_k$  в новых координатах запишутся следующим образом:

$$\begin{array}{l} a_0 = 0 \\ b_0 = 1 \end{array} \Bigg|_{u=-\frac{B}{2}\eta}, \quad \begin{array}{l} a_1 = 0 \\ b_1 = 0 \end{array} \Bigg|_{u=-\frac{B}{2}\eta}. \quad (13)$$

Решение задачи (12), (13) для амплитуд  $TE_n$ - и  $TM_n$ -мод в исходных координатах имеет вид

$$a^n(z, t) = -\frac{|B|}{\lambda} \sin \lambda z \cdot e^{j\frac{\Delta}{2}z} - jz \frac{|B|}{2\lambda} A_1 \left\{ (\alpha_1 \sin(\Omega t - p^+ z) - \right.$$

$$-\cos(\Omega t - p^+ z)) [S_+ - S_-] + 0.5 \left(1 + \frac{A_2}{A_1}\right) (S_+ \cos(\Omega t - k_s z + \lambda z) - \\ - S_- \cos(\Omega t - k_s z - \lambda z) + C_- \sin(\Omega t - k_s z - \lambda z) - \\ - C_+ \sin(\Omega t - k_s z + \lambda z)\} e^{j\frac{\Delta}{2}z}, \quad (14)$$

$$b^n(z, t) = \left( \cos \lambda z + j \frac{\Delta}{2\lambda} \sin \lambda z \right) e^{-j\frac{\Delta}{2}z} + z \frac{A_1}{2} \left\{ \left( \alpha_2 \cos(\Omega t - p^+ z) + \right. \right. \\ + j \alpha_3 \sin(\Omega t - p^+ z) \left. \right) [S_+ + S_-] - \left( 1 + \frac{A_2}{A_1} \right) \frac{\Delta}{4\lambda} \left( S_+ \cos(\Omega t - k_s z + \lambda z) - \right. \\ - S_- \cos(\Omega t - k_s z - \lambda z) + C_- \sin(\Omega t - k_s z - \lambda z) - \\ - C_+ \sin(\Omega t - k_s z + \lambda z) \left. \right) - \left( 1 - \frac{A_2}{A_1} \right) \frac{\Delta}{2\lambda p^- z} \cos(\Omega t - k_s z) \cdot \sin \lambda z \left. \right\} e^{-j\frac{\Delta}{2}z}, \quad (15)$$

где

$$\alpha_1 = j \frac{\Delta}{4p^-} \left( 1 - \frac{A_2}{A_1} \right) - \frac{\lambda}{2p^-} \left( 1 + \frac{A_2}{A_1} \right) \frac{C_+ + C_-}{S_+ - S_-},$$

$$\alpha_2 = \frac{\Delta}{4p^-} \left( 1 - \frac{A_2}{A_1} \right) + \frac{\Delta}{2\lambda} \frac{S_+ - S_-}{S_+ + S_-},$$

$$\alpha_3 = \frac{1}{2p^-} \left( 1 + \frac{A_2}{A_1} \right) \left[ \frac{(2p^- + \lambda)S_+ + (2p^- - \lambda)S_-}{S_+ + S_-} \right] - \\ - \frac{\Delta^2}{8p^- \lambda} \left( 1 - \frac{A_2}{A_1} \right) \frac{S_+ - S_-}{S_+ + S_-} - j \frac{\Delta}{4p^-} \left( 1 + \frac{A_2}{A_1} \right) \frac{C_+ + C_-}{S_+ - S_-} - 1,$$

$$\lambda = \sqrt{\frac{\Delta^2}{4} + BB^*}, \quad S_{\pm} = \frac{\sin[(p^- \pm \lambda)z]}{(p^- \pm \lambda)z}, \quad C_{\pm} = \frac{\cos[(p^- \pm \lambda)z]}{(p^- \pm \lambda)z},$$

коэффициенты  $A_1$  и  $A_2$  имеют разные знаки.

Если в данных выражениях положить  $\Delta = B = 0$ , то получится известное решение для фазовой модуляции  $TM$ -волны

$$b = 1 + jzA_2 \frac{\sin p^- z}{p^- z} \sin(\Omega t - p^+ z) \approx e^{jzA_2 \frac{\sin p^- z}{p^- z} \sin(\Omega t - p^+ z)}, \quad a = 0.$$

Из полученных решений (14), (15) видно, что накапливающийся по координате  $z$  эффект для динамической составляющей амплитуд  $TM_n$ -,  $TM_n$ -мод возможен при выполнении условий фазового синхронизма

$$p^- = \pm \lambda = \pm \sqrt{\frac{\Delta^2}{4} + BB^*}, \quad (16.1)$$

$$p^- = 0, \quad (16.2)$$

которые по сути являются отражением закона сохранения импульса. В (16.1) знак „плюс“ или „минус“ соответствует обратной или прямой СВЧ волне.

Выполнение условия (16.2) означает равенство групповой скорости света и фазовой скорости СВЧ волны. В случае объемного кристалла это условие можно выполнить за счет дисперсионной характеристики СВЧ электродинамической структуры — волновода или резонатора. Для интегрально-оптических устройств в основном используют слабодисперсионные щелевые или компланарные линии, при этом без применения специальных мер (ферритовые слоя, сложной формы электродов и т.д.) условие (16.2) не выполняется.

При выполнении условий (16.1) выражения для амплитуд (14) и (15) значительно упрощаются

$$\begin{aligned} \lim_{p^- \rightarrow \pm \lambda} a^n &= \left\{ -\frac{|B|}{\lambda} \sin \lambda z \pm z \frac{|B|}{4\lambda} (A_1 - A_2) \times \right. \\ &\quad \left. \times \left[ -\frac{\Delta}{2\lambda} \sin(\Omega t - p^+ z) + j \cos(\Omega t - p^+ z) \right] \right\} \cdot e^{j \frac{\Delta}{2} z}, \\ \lim_{p^- \rightarrow \pm \lambda} b^n &= \left\{ \cos \lambda z + j \frac{\Delta}{2\lambda} \sin \lambda z + z \frac{A_1 - A_2}{4} \times \right. \\ &\quad \left. \times \left[ j \left( \frac{\Delta^2}{4\lambda} - 1 \right) \sin(\Omega t - p^+ z) \pm \frac{\Delta}{z\lambda^2} \cos(\Omega t - k_s z) \sin \lambda z \right] \right\} e^{-j \frac{\Delta}{2} z} \end{aligned} \quad (17)$$

и для данной структуры ( $|B| \approx 8 \text{ см}^{-1}$ ) при значении параметра  $\Delta > 50 \text{ см}^{-1}$  преобразуются к виду

$$\lim_{p^- \rightarrow \pm \lambda} a^n = -\frac{|B|}{\lambda} \sin \lambda z \cdot e^{j \frac{\Delta}{2} z} \pm j z \frac{|B|}{4\lambda} (A_1 - A_2) e^{j(\Omega t - p^+ z + \frac{\Delta}{2} z)},$$

$$\lim_{p^- \rightarrow \pm \lambda} b^n = e^{j(\lambda - \frac{\Delta}{2}) z} \pm \frac{\Delta}{4\lambda^2} (A_1 - A_2) \cos(\Omega t - k_s z) \sin \lambda z \cdot e^{-j \frac{\Delta}{2} z}. \quad (18)$$

Таким образом, как видно из выражений (17), (18), в зависимости от значения параметра  $\Delta$  амплитуда рожденной  $TE_n$ -моды на выходе структуры может иметь стоксову и антистоксову составляющие СВЧ поля одновременно или только антистоксову.

Зависимости динамической составляющей интенсивностей мод от координаты  $z$  имеют характер синусоиды с линейно растущей амплитудой

$$\begin{aligned} \lim_{p^- \rightarrow \pm \lambda} |a^n|^2 &= \frac{BB^*}{\lambda^2} \sin^2 \lambda z \pm \frac{BB^*}{4\lambda^3} z (A_1 - A_2) \sin(\Omega t - p^+ z) \sin \lambda z, \\ \lim_{p^- \rightarrow \pm \lambda} |b^n|^2 &= \cos^2 \lambda z + \frac{\Delta^2}{4\lambda^2} \sin^2 \lambda z + \frac{\Delta}{4\lambda} z (A_1 - A_2) \left( \frac{\Delta^2}{4\lambda^2} - 1 \right) \times \\ &\quad \times \sin(\Omega t - p^+ z) \sin \lambda z \pm \frac{\Delta}{\lambda^2} (A_1 - A_2) \cos(\Omega t - k_s z) \sin 2\lambda z. \end{aligned} \quad (19)$$

В выражении (19) опущены малые слагаемые, пропорциональные  $A^2$ .

## Геометрия амплитудной модуляции

ГАМ можно реализовать, если систему координат волновода, сформированного на плоскости (100), ориентировать таким образом, чтобы электрическая компонента СВЧ УП  $E_y^0$  совпадала с кристаллофизическими направлением  $\langle 110 \rangle$  (рис. 1,б). В такой геометрии уравнения связанных мод с учетом (7), (8) имеют вид

$$\begin{aligned} \left( \frac{\partial}{\partial z} + \frac{1}{v} \frac{\partial}{\partial t} \right) a^n &= jb^n(D \sin \Psi + B) \exp[j\Delta z], \\ \left( \frac{\partial}{\partial z} + \frac{1}{v} \frac{\partial}{\partial t} \right) b^n &= ja^n(D \sin \Psi + B^*) \exp[-j\Delta z], \end{aligned} \quad (20)$$

где  $B$  имеет тот же смысл, что и в формуле (6), а

$$D = -\frac{\omega}{16\pi} \Delta \varepsilon_{21}^{r'} \langle E_y E_x \rangle_n.$$

Используя тот же метод, что и в предыдущем разделе, получим решение задачи (20), (13) для амплитуд  $TE_n$ - и  $TM_n$ -мод

$$\begin{aligned} a^n &= -\frac{|B|}{\lambda} \sin \lambda z \cdot e^{j\frac{\Delta}{2}z} + z \frac{D}{2} \left\{ j[S_+ + S_-] \sin(\Omega t - p^+ z) + \right. \\ &\quad \left. + \frac{\Delta}{2\lambda} [S_+ - S_-] \cos(\Omega t - p^+ z) \right\} e^{i\frac{\Delta}{2}z}, \\ b^n &= \left( \cos \lambda z + j \frac{\Delta}{2\lambda} \sin \lambda z \right) e^{-j\frac{\Delta}{2}z} + jzD \frac{\lambda}{2|B|} \left( 1 - \frac{\Delta^2}{4\lambda^2} \right) [S_+ - S_-] \times \\ &\quad \times \cos(\Omega t - p^+ z) e^{-j\frac{\Delta}{2}z}. \end{aligned} \quad (21)$$

В этом случае решение имеет более простой вид и только одно условие накапливающегося эффекта для динамической составляющей амплитуд мод

$$p^- = \pm \sqrt{\frac{\Delta^2}{4} + BB^*}.$$

Решение (21) выгодно отличается от (14) и (15) тем, что при увеличении значения параметра  $\Delta$  амплитуда динамической составляющей  $TE$ -моды не уменьшается, при  $\Delta > 50 \text{ см}^{-1}$

$$\begin{aligned} \lim_{p^- \rightarrow \pm \lambda} a^n &= -\frac{|B|}{\lambda} \sin \lambda z \cdot e^{j\frac{\Delta}{2}z} \pm z \frac{D}{2} e^{\pm j(\Omega t - p^+ z + \frac{\Delta}{2}z)}, \\ \lim_{p^- \rightarrow \pm \lambda} b^n &= 1. \end{aligned} \quad (22)$$

Интенсивности мод имеют тот же характер зависимости от  $z$ , что и в случае ГФМ,

$$|a^n|^2 = \frac{BB^*}{\lambda^2} \sin^2 \lambda z - zD \frac{|B|\Delta}{\lambda^2} [S_+ - S_-] \cos(\Omega t - p^+ z) \sin \lambda z,$$

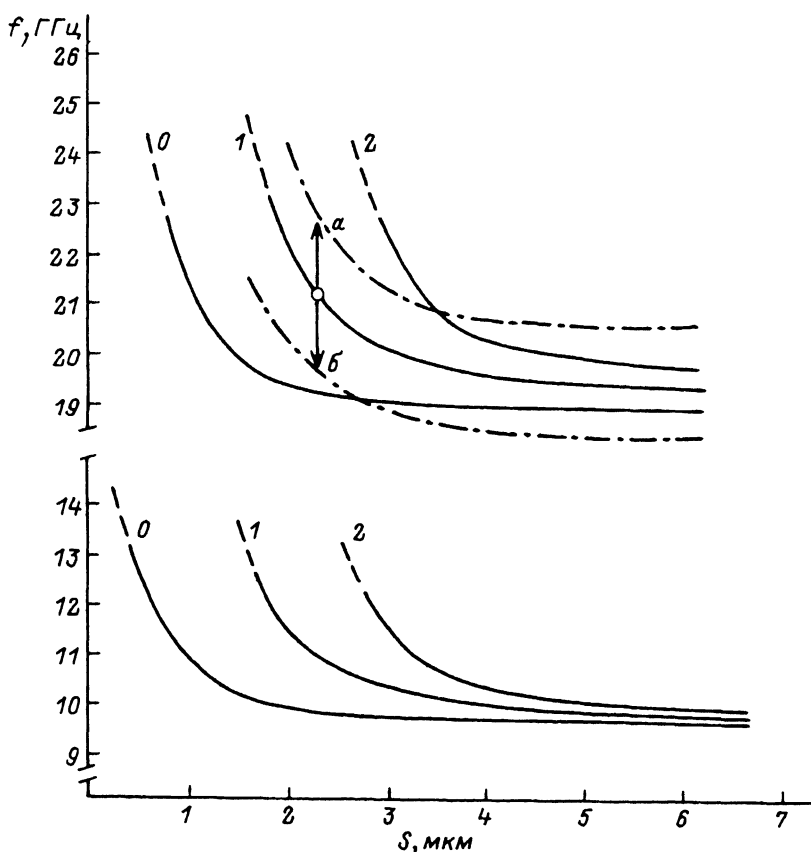


Рис. 2. Зависимость частоты точного синхронизма от толщины пленки прямой  $p^- = -\lambda$  (вверху) и обратной  $p^- = \lambda$  (внизу) СВЧ волн для разных номеров оптических мод  $n = 0, 1, 2$  (цифры у кривых).

Штрихпунктир для моды  $n = 1$  соответствует случаю приложенного магнитного поля напряженностью  $H_z = 10$  (а),  $-10$  кЭ (б).

$$|b^n|^2 = \cos^2 \lambda z + \frac{\Delta^2}{4\lambda} \sin^2 \lambda z + zD \frac{\Delta}{2|B|} \left(1 - \frac{\Delta^2}{4\lambda^2}\right) \cos(\Omega t - p^+ z) \sin \lambda z. \quad (23)$$

В (23) также не учитывались малые слагаемые, пропорциональные  $D^2$ .

Зависимость частоты точного синхронизма при выполнении условий (16.1) от толщины пленки показана на рис. 2.

### Заключение

Возможность осуществления накапливающихся эффектов в гиротропных пленках позволяет значительно расширить класс кристаллов, используемых в интегральной оптике. Наличие гиротропии приводит к новым условиям фазового синхронизма (16.1), определяющим оптимальные параметры взаимодействия волн. Выполнение этих условий как для прямой, так и для обратной СВЧ волн делает возможным продвижение в

более высокую область СВЧ, что может быть полезным при разработке систем обработки и передачи информации.

### Список литературы

- [1] Акустические кристаллы / Под ред. М.П. Шаскольской. М.: Наука, 1982. 632 с.
- [2] Копылов Ю.Л., Кравченко В.Б., Кучка В.В. // Письма в ЖТФ. 1982. Т. 8. Вып. 4. С. 205-207.
- [3] Абусев В.Н., Леонов Е.И., Линовский А.А. и др. // Письма в ЖТФ. 1988. Т. 14. Вып. 17. С. 1555-1560.
- [4] Kohji T., Yoshiki K., Masami T., Takeshi Y. // Appl. Opt. 1982. Vol. 1. N 16. P. 2953-2959.
- [5] Остроуменко А.П., Панченко Т.В., Прудкий В.П. и др. // УФЭ. 1983. Т. 8. № 2. С. 195-200.
- [6] Hideki H., Yoichi F. // IEEE J. Q.E. 1978. Vol. QE-14. N 11. P. 848-854.
- [7] Соломко А.А., Гайдай Ю.А., Колокольцев О.В. // ЖТФ. 1991. Т. 61. Вып. 8. С. 125-133.
- [8] Яриев А., Юх П. Оптические волны в кристаллах. Пер. с англ. М.: Мир, 1987. 616 с.

Киевский университет им. Т.Г.Шевченко

Поступило в Редакцию  
15 января 1992 г.